

ВЗАИМОДЕЙСТВИЯ РЕЛЯТИВИСТСКИХ ЯДЕР ${}^6\text{Li}$ С ЯДРАМИ ФОТОЭМУЛЬСИИ

© 1999 г. М. И. Адамович, В. Г. Богданов¹⁾, И. А. Коноров, В. Г. Ларионова,
Н. Г. Пересадько, В. А. Плющев¹⁾, [З. И. Соловьева¹⁾, С. П. Харламов

Физический институт им. П. Н. Лебедева РАН, Москва

Поступила в редакцию 08.04.98 г.

Представлены результаты исследования неупругих взаимодействий ядер ${}^6\text{Li}$, ускоренных до импульса 4.5A ГэВ/с , с ядрами фотоэмulsionии. Приведены основные характеристики этих взаимодействий: средний свободный пробег, средние множественности вторичных частиц, изотопный состав фрагментов и каналы фрагментации, средние значения поперечных импульсов фрагментов ядра-снаряда. Приведена вероятность процесса перезарядки ядра лития. Результаты, полученные для ядра ${}^6\text{Li}$, сравниваются с аналогичными данными для других ядер. Наблюдаемые особенности взаимодействий ядер ${}^6\text{Li}$ с ядрами указывают на то, что в этих взаимодействиях существенно оказывается структура ядра ${}^6\text{Li}$ в виде слабосвязанной системы из α -частичного и дейтронного кластеров. Наблюдаются события когерентной диссоциации ядра ${}^6\text{Li}$ на ${}^4\text{He}+d$, ${}^3\text{He}+t$ и $t+d+p$, в которых проявляются низшие уровни возбуждения ядра ${}^6\text{Li}$.

ВВЕДЕНИЕ

В работе изучаются взаимодействия ядра ${}^6\text{Li}$ с ядрами, входящими в состав ядерной фотоэмulsionии. Этот эксперимент дополняет исследования на пучках ядер, ускоренных на синхрофазотроне ОИЯИ (Дубна) до импульса 4.5 ГэВ/с на нуклон, в ранее не изученном интервале масс бомбардирующих ядер. Исследуется процесс множественного рождения частиц. Детально рассматривается процесс фрагментации ядра-снаряда ${}^6\text{Li}$ на изотопы гелия и водорода. Исследование фрагментации релятивистских ядер дополняет классические эксперименты по расщеплению тех же ядер, но используемых в качестве мишней; в этом случае практически отсутствует порог регистрации, что делает возможным изучение процесса при очень малых передачах энергии-импульса. Метод ядерных эмульсий позволяет детально изучить явление фрагментации ядра-снаряда благодаря высокой разрешающей способности эмульсии и наблюдаемости акта взаимодействия в 4π -геометрии. Регистрация всех вторичных заряженных частиц и их идентификация позволяют исследовать изотопный состав фрагментов и каналы фрагментации ядра-снаряда. Особый класс представляют события, в которых сумма массовых чисел фрагментов равна массовому числу ядра-снаряда. В

этих событиях регистрируются все вторичные частицы и можно определить как величину передачи поперечного импульса ядру, так и поперечные импульсы фрагментов в системе фрагментирующего ядра. Если при этом сохраняется значение заряда ядра-снаряда, то регистрируются каналы диссоциации, а в случае, если суммарный заряд фрагментов изменяется относительно первоначального значения заряда ядра, можно выделить реакции перезарядки ядра-снаряда. В работе проводятся оценка инвариантной массы продуктов диссоциации и сравнение ее с уровнями возбужденных состояний ядра-снаряда.

ЭКСПЕРИМЕНТ

Стопка, состоящая из слоев ядерной фотоэмulsionии БР-2 НИИХИМФОТОПРОЕКТА с релятивистской чувствительностью, была облучена пучком ядер ${}^6\text{Li}$ с импульсом 4.5A ГэВ/с на синхрофазотроне ЛВЭ ОИЯИ. Слои толщиной около 600 мкм имели размер $10 \times 20\text{ см}^2$. При облучении пучок был направлен параллельно плоскости эмульсии вдоль ее длинной стороны. Поиск событий проводился просмотром по следу, что позволило определить средний свободный пробег неупругих взаимодействий ядра ${}^6\text{Li}$ в фотоэмulsionии. В исследуемых событиях изменились полярный и азимутальный углы вылета всех заряженных частиц. Заряды релятивистских частиц определялись по плотности иониза-

¹⁾Радиевый институт им. В. Г. Хлопина, Санкт-Петербург, Россия.

Таблица 1. Средний свободный пробег λ для неупругих взаимодействий ядер в ядерной фотоэмulsionии

Ядро-снаряд	Импульс на нуклон, ГэВ/с	λ , см		Литература
		расчетный	экспериментальный	
^4He	4.5	19.6	19.5 ± 0.3	[1]
^6Li	4.5	16.5	14.1 ± 0.4	Настоящая работа
^{12}C	4.5	13.5	13.7 ± 0.5	[2]
^{16}O	4.5	12.1	13.0 ± 0.5	[3]
^{22}Ne	4.1	10.6	10.2 ± 0.1	[3]
^{24}Mg	4.5	10.0	9.6 ± 0.4	[4]

ции треков. При взаимодействии ускоренного ядра лития с ядрами заряд вторичных релятивистских частиц ограничивается зарядом, равным трем, и в используемой нами эмульсии такие заряды определяются исключительно надежно. Импульсы двух- и однозарядных релятивистских частиц с углом вылета до 3° были определены по результатам измерения многократного кулоновского рассеяния следов. На основе этих измерений идентифицированы изотопы водорода и гелия в составе фрагментов ядра ^6Li .

СРЕДНИЙ СВОБОДНЫЙ ПРОБЕГ ВЗАИМОДЕЙСТВИЯ

На общей длине просмотренных следов в 234.1 м было зарегистрировано 1657 неупругих

взаимодействий ядра ^6Li с ядрами элементов, входящих в состав эмульсии. Таким образом, средний свободный пробег ядра ^6Li в фотоэмulsionии составляет $\lambda_{\text{Li}} = 14.13 \pm 0.35$ см. Эта величина и значения λ_A для ряда других ядер-снарядов в фотоэмulsionии с импульсом 4.5 А ГэВ/с, полученные ранее в работах [1–4], представлены в табл. 1. В таблице приведены также вычисленные по формуле значения $\lambda_{A_p} = 1/\sum_t N_t \sigma_{A_p A_t}$, где A_p и A_t — массовые числа ядра-снаряда и ядра-мишени, $\sigma_{A_p A_t}$ — сечение их взаимодействия, а N_t — концентрация ядер A_t в эмульсии. Сечения вычислены согласно перекрывающейся геометрической модели по формуле Брадта-

Петерса [5] $\sigma_{A_p A_t} = \pi r^2 (A_p^{1/3} + A_t^{1/3} - b)^2$, где $r = 1.23$ Фм и параметр перекрытия $b = 1.56 - 0.2(A_p^{-1/3} + A_t^{-1/3})$. Такая аппроксимация удовлетворительно описывает экспериментальные данные в широком интервале массовых чисел ядер-снарядов. Как видно, для указанных в таблице ядер имеется удовлетворительное согласие между измеренными и вычисленными значениями. Полученное нами значение λ_{Li} существенно ниже вычисленного. На рис. 1 наглядно видно, что согласно такой модели экспериментальному значению λ_{Li} соответствует ядро с массовым числом $A = 11 \pm 1$. Это свидетельствует об аномально большом радиусе ядра ^6Li , что согласуется с выводами, сделанными в работе [6]. В свою очередь соответствующее значение радиуса распределения нуклонов 2.7 ± 0.1 Фм, которым определяются сечения неупругих ядер-ядерных взаимодействий, превышает величину радиуса распределения заряда в ядре ^6Li .

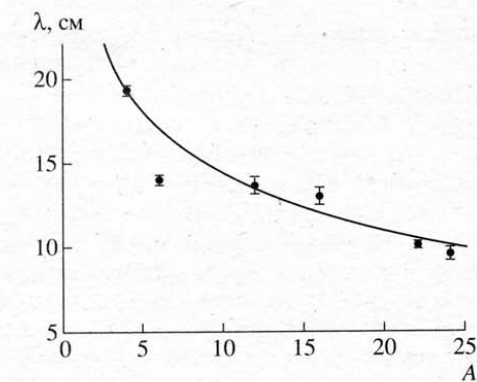


Рис. 1. Средний свободный пробег λ для неупругих взаимодействий в ядерной фотоэмulsionии в зависимости от массы налетающего ядра. Кривая — аппроксимация по геометрической модели.

МНОЖЕСТВЕННОСТИ ВТОРИЧНЫХ ЧАСТИЦ

В 1014 событиях были измерены углы вылета всех заряженных частиц. С учетом полученных характеристик все вторичные заряженные частицы были разделены согласно принятой в эмульсионной методике схеме.

К фрагментам налетающего ядра-снаряда ${}^6\text{Li}$ относятся частицы, сохранившие скорость первичного ядра $\beta \sim 0.98$, т.е. не претерпевшие неупругого взаимодействия с мишенью. В основном они заключены в узком переднем конусе полярного угла θ , который оценивается соотношением $\theta = 0.2/p_0$, где величина коэффициента 0.2 ГэВ/с определяется интервалом поперечных импульсов нуклонов-спектаторов, а p_0 — импульс нуклона ускоренного ядра-снаряда. При $p_0 = 4.5$ ГэВ/с раствор этого фрагментационного конуса составляет около 3° . Для идентификации и определения массы фрагментов были измерены импульсы частиц с углом вылета в пределах этого конуса:

s-частицы — однозарядные релятивистские частицы со скоростью $\beta > 0.7$ и относительной ионизацией $I/I_0 < 1.4$, где I_0 — плотность следа частицы в минимуме ионизационной кривой; в основном это рожденные мезоны, а также неупруго провзаимодействовавшие протоны с углом вылета, большим фрагментационного конуса;

g-частицы — быстрые фрагменты ядра-мишени с ионизацией $I/I_0 > 1.4$ и пробегом более 3 мм; в основном это протоны с энергией $E_p > 26$ МэВ;

b-частицы — медленные фрагменты ядра-мишени с пробегом менее 3 мм;

h-частицы — группа всех фрагментов мишени, включающая в себя *g*- и *b*-частицы.

На рис. 2 средние значения множественности частиц для ядра ${}^6\text{Li}$ сравниваются с данными экспериментов [2–4, 7–9]. Полученное для ядра ${}^6\text{Li}$ значение $\langle n_s \rangle$ в пределах ошибок согласуется с кривой, описывающей зависимость $\langle n_s \rangle$ от массы ядра-снаряда. Значение $\langle N_h \rangle$ для ядра ${}^6\text{Li}$ отличается от общей закономерности, наблюдавшейся во взаимодействиях ранее исследованных ядер, и располагается заметно ниже кривой, описывающей эту зависимость, что указывает на больший вклад периферических столкновений во взаимодействиях ядра ${}^6\text{Li}$ по сравнению со взаимодействиями других ядер.

Рассмотрим зависимость множественности различных типов частиц от характера фрагментации ядра-снаряда. Для характеристики фрагментации ядра используется величина суммарного заряда фрагментов $Q = \sum Z_f$, где Z_f — за-

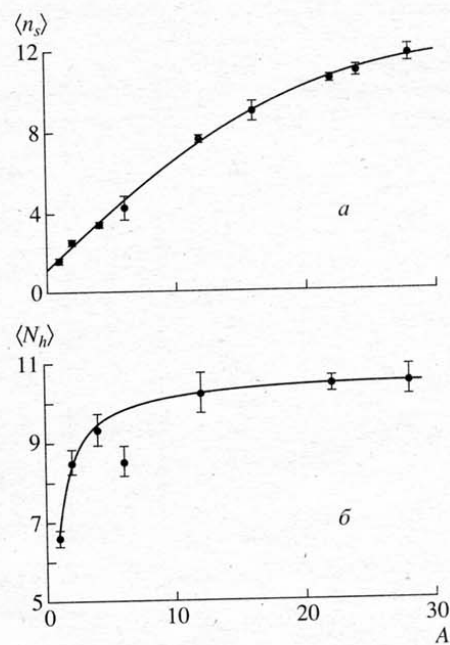


Рис. 2. Средние множественности вторичных частиц в зависимости от массы налетающего ядра: *a* — однозарядных релятивистских частиц $\langle n_s \rangle$; *b* — фрагментов ядер мишени $\langle N_h \rangle$. Кривые — слаживающее описание полиномами.

ряды отдельных фрагментов ядра-снаряда. Величина Q может быть использована для оценки среднего числа неупруго провзаимодействовавших нуклонов ядра-снаряда ν . Для такой оценки используется выражение $\nu = 2(Z - Q)$. События с $Q = 0$ принято называть центральными, или лобовыми, соударениями. В группу событий с $Q = 3$ входят неупругие взаимодействия с сохранением ядра-снаряда, события дифракционной и электромагнитной диссоциации ядра-снаряда, а также события, обусловленные взаимодействием нейтронов ядра-снаряда с ядрами мишени. В табл. 2 приведены средние значения множественности вторичных частиц в зависимости от Q и ν для ускоренных ядер ${}^6\text{Li}$, дейtronов и α -частиц, а также протон-ядерных взаимодействий в фотоэмulsionии с импульсом 4.5 ГэВ/с на нуклон. Для всех ядер прослеживается рост множественности частиц с увеличением ν . Обращаем внимание на то, что при одинаковых значениях ν , не равных нулю, значения $\langle n_s \rangle$ для всех указанных ядер примерно равны. Более того, в пределах ошибок согласуются между собой и значения удельной множественности *s*-частиц $\langle n_s \rangle / \nu$. Таким образом, процесс множественного

Таблица 2. Средние множественности частиц в зависимости от значений параметров Q и ν

Ядро-снаряд	Q	ν	$\langle n_s \rangle$	$\langle n_g \rangle$	$\langle n_b \rangle$	$\langle N_h \rangle$
^6Li	0	6	10.2 ± 1.0	11.8 ± 1.7	8.3 ± 0.4	20.1 ± 2.0
^6Li	1	4	6.1 ± 0.5	5.8 ± 0.9	5.5 ± 0.2	11.3 ± 1.2
^4He	0	4	5.6 ± 0.1	7.2 ± 0.3	6.8 ± 0.2	14.0 ± 0.5
^6Li	2	2	2.7 ± 0.3	2.7 ± 0.4	2.9 ± 0.2	5.5 ± 0.3
^4He	1	2	2.6 ± 0.1	2.4 ± 0.2	2.7 ± 0.2	5.1 ± 0.3
^2H	0	2	2.4 ± 0.1	4.4 ± 0.3	4.9 ± 0.2	9.3 ± 0.5
^6Li	3	0	0.8 ± 0.1	0.9 ± 0.2	1.2 ± 0.1	2.0 ± 0.2
^4He	2	0	1.4 ± 0.1	1.6 ± 0.2	2.0 ± 0.2	3.6 ± 0.4
^2H	1	0	0.7 ± 0.1	3.0 ± 0.3	3.5 ± 0.3	6.4 ± 0.5
^1H			1.6 ± 0.1	2.8 ± 0.1	3.8 ± 0.1	6.6 ± 0.1
^6Li	Все Q		4.3 ± 0.6	4.6 ± 0.6	4.0 ± 0.1	8.5 ± 0.6

рождения частиц во всех этих событиях происходит одинаково, и при неупругом взаимодействии нуклона ядра-снаряда наблюдается в среднем 1.4 s -частицы. А полное число частиц в событиях определяется числом нуклонов ядра-снаряда, испытавших неупругие взаимодействия. В событиях же с $\nu = 0$ сами значения $\langle n_s \rangle$ можно использовать для оценки числа неупругого взаимодействовавших нейтронов ядра-снаряда. В то же время при фиксированном ν средние значения множественности нерелятивистских частиц зависят от массы налетающего ядра-снаряда. С увеличением массы ядра-снаряда уменьшается множественность фрагментов мишени, т.е. увеличивается относительный вклад периферических взаимодействий.

Ядерный состав фотоэмulsionи можно условно разделить на три группы. В первую группу входят ядра свободного водорода. Углерод, азот и кислород составляют группу легких, а серебро и бром — группу тяжелых ядер. Число частиц $N_h = n_b + n_g$, являющихся фрагментами ядра-мишени, указывает, на какой из групп ядер произошло взаимодействие. В соответствии с этим принято рассматривать следующие группы событий:

- 1) квазинуклонные события с $N_h = 0$ и 1;
- 2) взаимодействия с легкими ядрами С, N и O и периферические взаимодействия с ядрами Ag и Br ($N_h = 2-6$);

3) события с $N_h \geq 7$, которые составляют класс непериферических взаимодействий с ядрами Ag и Br.

Кроме того, выделены события с $N_h \geq 28$, представляющие собой полные расщепления ядер Ag и Br. Доля их составляет $(6.7 \pm 2.0)\%$ от всех измеренных взаимодействий. Так как доля взаимодействий с тяжелыми ядрами эмульсии составляет около 66% [10], то вероятность полного расщепления ядер Ag и Br оказывается равной $(10 \pm 3)\%$. В пределах точности это согласуется с расчетным значением 8.5%, полученным по результатам исследования сечений полных расщеплений [11].

В табл. 3 приведены средние значения множественности s -, g - и b -частиц для каждой из групп событий. Рост множественности всех типов частиц с увеличением значения N_h связан с увеличением ядерного вещества мишени на пути ядра-снаряда. В таблице приводится также среднее число неупругого взаимодействовавших нуклонов ядра-снаряда $\langle \nu \rangle$ и значение удельной множественности $\langle n_s / \nu \rangle$, которое можно рассматривать как оценку кратности неупругих столкновений нуклона ядра-снаряда с нуклонами мишени. В группе событий с $N_h \leq 1$ содержится

Таблица 3. Средние множественности вторичных частиц во взаимодействиях ядер ${}^6\text{Li}$ с ядрами фотоэмulsionии по группам N_h

N_h	$\langle n_s \rangle$	$\langle \nu \rangle$	$\langle n_s/\nu \rangle$	$\langle n_g \rangle$	$\langle n_b \rangle$	Число событий
0–1	1.3 ± 0.3	1.0 ± 0.1	0.9 ± 0.1	0.3 ± 0.1	0.14 ± 0.02	294
2–6	3.5 ± 0.7	2.4 ± 0.2	1.4 ± 0.3	1.9 ± 0.2	2.1 ± 0.2	309
≥ 7	7.2 ± 1.2	4.1 ± 0.2	1.7 ± 0.2	9.6 ± 0.5	8.2 ± 0.6	411
≥ 28	11.1 ± 0.7	5.4 ± 0.1	2.1 ± 0.1	20.3 ± 1.0	12.8 ± 1.0	68
≥ 0	4.3 ± 0.6	2.7 ± 0.2	1.4 ± 0.1	4.6 ± 0.6	4.0 ± 0.1	1014

около 60% событий, в которых в фрагментационном конусе сохраняется полный заряд. В группе $N_h \geq 28$ более 70% событий не содержат заряженных фрагментов ядра-снаряда, т.е. в этих событиях максимальное число нуклонов ядра-снаряда испытывают неупругие столкновения.

ИЗОТОПНЫЙ СОСТАВ ФРАГМЕНТОВ И КАНАЛЫ ФРАГМЕНТАЦИИ ЯДРА ${}^6\text{Li}$

Для определения массы фрагмента ускоренного ядра достаточно знать его импульс. В ядерной фотоэмulsionии импульс частицы определяется измерением многократного кулоновского рассеяния частицы. Среднее отклонение частицы $|D|$ на ячейках длиной t связано с величиной $p\beta c$ выражением $\langle |D| \rangle = (Z_f K t^{3/2}) / (573 p\beta c)$, где Z_f — заряд, p — импульс и βc — скорость частицы, а K — постоянная рассеяния, значение которой известно. Учет влияния дисторсий и ложного рассеяния проводился в рамках так называемого ρ -метода [12]. При многократном кулоновском рассеянии распределение $\langle |D| \rangle$ для отдельных частиц с одинаковым зарядом и импульсом должно быть близким к нормальному. Поэтому для фрагментов с одинаковой скоростью и одинаковым зарядом, но разными массами распределение по $1/(p\beta c)$ должно представлять собой суперпозицию нескольких нормальных распределений. Вместе с тем при разделении ядер по массе используются также распределения частиц по более наглядной величине $p\beta c$. Рассмотрим оба эти метода разделения частиц по массам и сравним полученные результаты.

На рис. 3 результаты измерения многократного рассеяния частиц представлены в виде распределений нормированной плотности $(1/N) \times dN/d(p\beta c)$ в зависимости от $p\beta c$. Средняя ошибка полученных значений $p\beta c$ составляет

примерно 15%. На рис. 3а приведено распределение 892 измеренных однозарядных релятивистских частиц. Экспериментальные значения в области $2 < p\beta c < 17$ ГэВ удовлетворительно (с $\chi^2 = 0.9$ на ст. св.) аппроксимируются суммой трех нормальных распределений методом наименьших квадратов. На рисунке кривыми показаны как суммарное, так и отдельные распределения. Максимумы аппроксимирующих распределений расположены при значениях $p\beta c$, равных 4.2, 8.2 и 12.2 ГэВ, что достаточно близко к кратным значениям $p_0\beta c$, где p_0 — импульс нуклона ядра-снаряда, и соответствуют изотопам ${}^1\text{H}$, ${}^2\text{H}$ и ${}^3\text{H}$. Дисперсии протонного и дейтронного распределений составляют около 1 ГэВ, а тритонного — около 2 ГэВ, при этом соседние распределения перекрываются. Границы разделения фрагментов по величине $p\beta c$ были выбраны так, чтобы площади перекрытий каждого из распределений от границы были равны. Наилучшим образом выделяются протоны (с $p\beta c < 6.0$ ГэВ), для которых перекрытие с дейтронами составляет менее 2%. Заметно большая неопределенность в оценке массы фрагмента наблюдается в области границы разделения дейтронов и тритонов ($p\beta c = 10.0$ ГэВ), где перекрываются около 4% дейтронного и 12% тритонного распределений. На рис. 3б приведено аналогичное распределение измеренных 340 двухзарядных релятивистских частиц. Для определения границы разделения фрагментов ${}^3\text{He}$ и ${}^4\text{He}$ экспериментальные данные в интервале $8 < p\beta c < 22$ ГэВ аппроксимированы суммой двух нормальных распределений (с $\chi^2 = 0.7$ на ст. св.). Максимумы распределений расположены при значениях $p\beta c$, равных 12.1 и 17.2 ГэВ, что хорошо согласуется с ожидаемыми значениями для ${}^3\text{He}$ и ${}^4\text{He}$. Дисперсии распределений составляют около 2 ГэВ. Граница разделения этих фрагментов находится

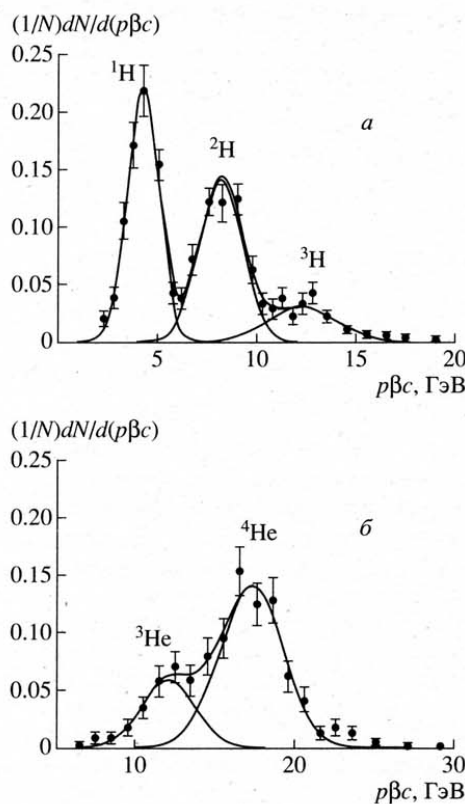


Рис. 3. Плотность $(1/N) dN/d(p\beta c)$ в зависимости от $p\beta c$: а — для однозарядных фрагментов ядра ${}^6\text{Li}$, б — для двухзарядных фрагментов ядра ${}^6\text{Li}$. Кривые — описание гауссианами по МНК (см. текст).

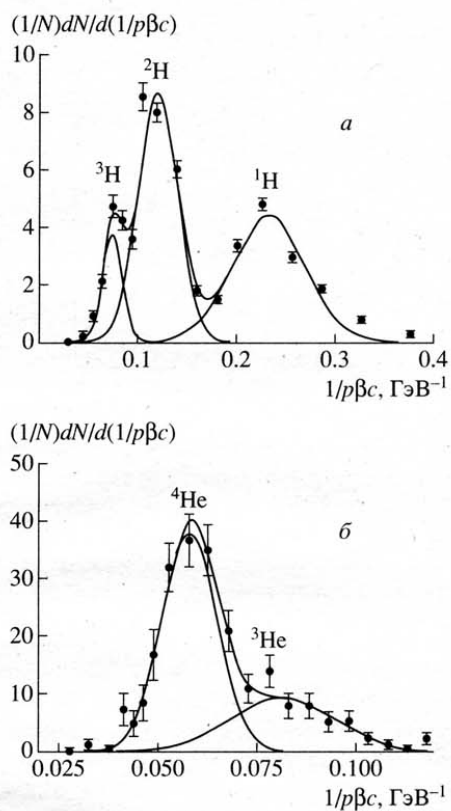


Рис. 4. Плотность $(1/N) dN/d(1/p\beta c)$ в зависимости от $1/p\beta c$: а — для однозарядных фрагментов ядра ${}^6\text{Li}$, б — для двухзарядных фрагментов ядра ${}^6\text{Li}$. Кривые — описание по МНК (см. текст).

при $p\beta c = 14.0$ ГэВ, а перекрытие распределений от границы составляет около 13% для ${}^3\text{He}$ и 5% для ${}^4\text{He}$. Аналогичная процедура разделения изотопов фрагментов использовалась при исследовании фрагментации ядра ${}^6\text{Li}$ в работе [13].

Проведем разделение изотопов с использованием распределений частиц по величине $1/p\beta c$. На рис. 4 представлены нормированные экспериментальные распределения. При аппроксимации экспериментальных данных однозарядных фрагментов в области значений $1/p\beta c < 0.3$ ГэВ $^{-1}$ суммой трех нормальных распределений получено значение $\chi^2 = 1.5$ на ст. св. Границы разделения изотопов по величине $1/p\beta c$ определялись так же, как и в предыдущем случае. Граница разделения протонов и дейтронов соответствует $p\beta c = 5.8$ ГэВ, что практически совпадает со значением, полученным из распределения по $p\beta c$. Перекрытие распределений

дейтронов и тритонов по $1/p\beta c$ заметно больше, чем перекрытие распределений по $p\beta c$, а граница разделения тритонов и дейтронов сдвигается и соответствует значению $p\beta c = 12.1$ ГэВ. При аппроксимации экспериментальных распределений двухзарядных фрагментов по величине $1/p\beta c$ суммой двух нормальных распределений получено значение $\chi^2 = 0.8$ на ст. св. Перекрытие распределений по $1/p\beta c$ несколько больше, чем распределений по $p\beta c$, а граница разделения ${}^3\text{He}$ и ${}^4\text{He}$ соответствует значению $p\beta c = 15.2$ ГэВ.

Сравнивая эти два описания результатов измерения многократного рассеяния фрагментов ядра-снаряда, видим, что описание по величине $1/p\beta c$ по χ^2 -критерию не имеет преимуществ относительно описания данных по величине $p\beta c$. Вместе с тем при таком сравнении можно более уверенно судить о точности, с которой производится разделение отдельных фрагментов по

Таблица 4. Изотопный состав фрагментов ядра ${}^6\text{Li}$

Заряд	Изотоп	Состав, %	Средняя множественность
1	${}^1\text{H}$	44 ± 7	0.40 ± 0.07
	${}^2\text{H}$	43 ± 7	0.39 ± 0.05
	${}^3\text{H}$	13 ± 3	0.11 ± 0.03
	Все		0.90 ± 0.02
2	${}^3\text{He}$	30 ± 7	0.11 ± 0.02
	${}^4\text{He}$	68 ± 8	0.25 ± 0.03
	${}^6\text{He}$	1.4 ± 0.3	0.005 ± 0.002
	Все		0.36 ± 0.02
3	${}^6\text{Li}$		0.13 ± 0.06

их массе. В обоих случаях получены совпадающие условия выделения протонов, сравнительно близкие результаты для разделения ${}^3\text{He}$ и ${}^4\text{He}$ и заметные различия наблюдаются при определении границы выделения тритонов. Окончательные границы разделения фрагментов были выбраны с учетом значений χ^2 аппроксимирующих распределений. Для однозарядных изотопов использованы значения $p\beta c = 5.9$ и 10.7 ГэВ, а для границы разделения ${}^3\text{He}$ и ${}^4\text{He}$ — $p\beta c = 14.4$ ГэВ. Двухзарядные частицы с $p\beta c > 22$ ГэВ были отнесены к ${}^6\text{He}$ только в том случае, если события, в которых они наблюдаются, могут быть интерпретированы как процесс перезарядки ядра ${}^6\text{Li}$ в ${}^6\text{He}$. Полученные данные об изотопном составе фрагментов и данные о средней множественности изотопов приведены в табл. 4. В ошибки, указанные в таблице, кроме статистических включены и погрешности за счет неопределенности границ разделения изотопов. Основной отличительной особенностью изотопного состава фрагментов ядра ${}^6\text{Li}$ является необычно большой выход дейtronов, равный практически выходу протонов, чего не наблюдалось при фрагментации ядер ${}^4\text{He}$, ${}^{12}\text{C}$, ${}^{22}\text{Ne}$ и ${}^{28}\text{Si}$ [14–16]. Выходы фрагментов ${}^3\text{H}$ и ${}^3\text{He}$ с одинаковыми массовыми числами практически одинаковы.

Совокупность всех фрагментов в каждом индивидуальном событии характеризует канал фрагментации ядра-снаряда и представляется нами топологической формулой этого события. Из 835 событий, в которых были найдены заряженные фрагменты ядра-снаряда, в 768 событиях оказалось возможным определить природу

Таблица 5. Каналы фрагментации ядер ${}^6\text{Li}$

Формула	Число событий	Формула	Число событий
$Q = 0$	179	$t dp$	8
p	90	tt	4
pp	23	${}^3\text{He}$	46
ppp	5	${}^3\text{He}p$	18
$pppp$	1	${}^3\text{He}pp$	1
d	97	${}^3\text{He}d$	29
dp	64	${}^3\text{He}dp$	1
dpp	8	${}^3\text{He}t$	8
dd	27	${}^4\text{He}$	97
ddp	8	${}^4\text{He}p$	65
ddd	3	${}^4\text{He}pp$	4
t	32	${}^4\text{He}d$	61
tp	24	${}^6\text{He}$	5
tpp	5	${}^6\text{Li}$	13
td	21		

всех имеющихся в событии фрагментов. Результаты приведены в табл. 5. Видно, что более 80% событий содержат хотя бы один заряженный фрагмент и реализуются все возможные каналы фрагментации. В таблице содержится также число неупругих взаимодействий с сохранившимся ядром ${}^6\text{Li}$ и число событий без заряженных фрагментов с $Q = 0$. Полученные данные об ассоциативных множественностиах фрагментов позволяют более детально сравнить образование фрагментов с одинаковыми массовыми числами ${}^3\text{H}$ и ${}^3\text{He}$. В пределах статистической точности наблюдаются одинаковые выходы как при одиночном, так и при ассоциативном образовании их с другими фрагментами. Особо отметим события, в которых сумма массовых чисел фрагментов равна массовому числу ядра-снаряда. В 61 событии (около 6% от всех взаимодействий) ядро ${}^6\text{Li}$ расщепляется на два фрагмента: ${}^6\text{Li} \rightarrow {}^4\text{He} + d$, причем большая часть этих событий являются событиями когерентной диссоциации, т. е. без рождения релятивистских частиц. Большой вклад этого процесса в сечение указывает на то, что в структуре ядра ${}^6\text{Li}$ существенно проявляется система из α -частичного

и дейтронного кластеров. Зарегистрировано восемь событий (что составляет около 0.8% от общего числа событий) когерентной диссоциации ядра ${}^6\text{Li}$ на фрагменты ${}^3\text{He}$ и ${}^3\text{H}$, которые можно отнести к проявлению другой возможной структуры ядра в виде двух ${}^3\text{He}$ - и ${}^3\text{H}$ -кластеров. Зарегистрировано также восемь событий диссоциации, содержащих только однозарядные фрагменты ${}^6\text{Li} \rightarrow {}^3\text{H} + {}^2\text{H} + {}^1\text{H}$. В последний канал вклад могут вносить обе указанные структуры. Таким образом, при диссоциации ядра ${}^6\text{Li}$ проявление структуры в виде ${}^3\text{He}$ -частичного и тритонного кластеров почти на порядок меньше, чем из α -частичного и дейтронного кластеров. В свете сказанного необычно большой выход дейтронных фрагментов объясняется тем, что существенный вклад вносят события, в которых с ядрами мишени эффективно взаимодействуют отдельные слабосвязанные кластеры ядра ${}^6\text{Li}$.

Вероятность сохранения ядра ${}^6\text{Li}$ (имеется 13 событий с трехзарядным фрагментом) в результате неупругого взаимодействия с ядрами фотэмulsionии невелика — $(1.3 \pm 0.6)\%$, что заметно меньше, чем вероятность сохранения ядра-снаряда ${}^4\text{He}$, которая составляет $(3.5 \pm 0.5)\%$ [16]. Это также может быть объяснено слабосвязанной кластерной структурой ядра ${}^6\text{Li}$.

ПОПЕРЕЧНЫЕ ИМПУЛЬСЫ ФРАГМЕНТОВ ЯДРА ${}^6\text{Li}$

Поперечные импульсы фрагментов в л. с. p_t^A вычислялись с использованием выражения $p_t^A = p_0 A \sin \theta$, где p_0 — импульс нуклона ядра-снаряда, A — массовое число фрагмента и θ — измеренный полярный угол испускания фрагмента. Средние значения поперечных импульсов $\langle p_t^A \rangle$ фрагментов ${}^6\text{Li}$ приведены в табл. 6. Там же представлены экспериментальные значения

средних поперечных импульсов фрагментов ядер ${}^4\text{He}$ и ${}^{12}\text{C}$ с тем же импульсом на нуклон. Для однозарядных фрагментов ядра ${}^6\text{Li}$ наблюдается рост значений $\langle p_t^A \rangle$ с увеличением массы фрагмента. Значения их являются промежуточными между значениями для фрагментов ядер ${}^4\text{He}$ и ${}^{12}\text{C}$. Поперечные импульсы двухзарядных фрагментов ядра ${}^6\text{Li}$ заметно меньше, чем у соседних ядер. О степени согласия полученных результатов с модельным описанием процесса фрагментации [17] можно судить, сравнивая оценки модельной дисперсии σ_0 по экспериментальным значениям $\langle p_t^A \rangle$. При этом используются модельное соотношение σ_0 с дисперсиями распределений поперечных импульсов фрагментов σ^A и соотношение σ^A с $\langle p_t^A \rangle$, определяемое распределением Релея. При такой оценке экспериментальные значения $\langle p_t^A \rangle$ для фрагментов ${}^2\text{H}$, ${}^3\text{H}$ и ${}^4\text{He}$ можно рассматривать как не противоречащие значению $\sigma_0 = 100 \pm 10$ МэВ/с. По данным для протонов получаем заметно меньшую величину — 80 ± 5 МэВ/с, и еще меньшее значение, 70 ± 5 МэВ/с, получено по данным для ядра ${}^3\text{He}$. Чтобы исключить возможное влияние примеси ядер ${}^4\text{He}$ на последний результат, рассмотрена область $p\beta c < 13$ ГэВ, где практически нет перекрытия с распределением ${}^4\text{He}$. В пределах точности значение $\langle p_t \rangle$ при этом не изменяется. Поэтому более низкое значение $\langle p_t \rangle$ для фрагментов ${}^3\text{He}$, по-видимому, не связано с ошибками при разделении ядер ${}^3\text{He}$ и ${}^4\text{He}$. Наблюданное различие в оценках величины σ_0 может быть связано с тем, что поперечные импульсы всех фрагментов ядра ${}^6\text{Li}$ не могут быть описаны одним видом распределения. Детальный анализ поперечных импульсов фрагментов ядра-снаряда может служить полезным инструментом в исследовании процессов неупругих взаимодействий ядер.

ОЦЕНКА ВКЛАДА ПЕРЕЗАРЯДКИ ЯДРА ${}^6\text{Li}$

Для оценки вклада перезарядки ядра ${}^6\text{Li}$ в ядро ${}^4\text{He}$ рассматриваются события, в которых двухзарядные частицы имеют значения $p\beta c > 22$ ГэВ. На рис. 3б в распределении частиц по $p\beta c$ в этой области, соответствующей фрагментам ${}^4\text{He}$, наблюдается небольшое превышение экспериментальных значений над аппроксимирующей кривой. В 12 событиях, имеющих такой двухзарядный фрагмент, не содержится других фрагментов ядра-снаряда. Из них только пять

Таблица 6. Средние поперечные импульсы фрагментов ядер в л. с. (в МэВ/с)

Ядро-снаряд	${}^1\text{H}$	${}^2\text{H}$	${}^3\text{H}$	${}^3\text{He}$	${}^4\text{He}$
${}^4\text{He}$	86 ± 3	142 ± 7	175 ± 14	223 ± 12	239 ± 20
${}^6\text{Li}$	97 ± 10	153 ± 5	189 ± 17	131 ± 8	139 ± 8
${}^{12}\text{C}$	112 ± 2	203 ± 10	223 ± 25		$238 \pm 8^*$

* В этом эксперименте все двухзарядные фрагменты считались ядрами ${}^4\text{He}$.

событий, содержащих по одной однозарядной релятивистской частице, можно отнести к неупругому процессу ${}^6\text{Li} \rightarrow {}^6\text{He} + \pi^+$. В остальных семи событиях содержится по несколько однозарядных релятивистских частиц. Считая, что процессы с перезарядкой и рождением нескольких заряженных мезонов имеют значительно меньшие сечения, двухзарядные фрагменты в этих событиях были отнесены к ядрам ${}^4\text{He}$. Зарегистрировано еще четыре события, содержащих по два ядра ${}^3\text{H}$, которые также можно отнести к перезарядке ядра ${}^6\text{Li}$ в конечное состояние с зарядом, равным двум.

Зарегистрированы семь событий, в которых суммарный заряд фрагментов равен четырем. Из них четыре имеют вид ${}^4\text{He} + {}^2\text{H}$, а одно — ${}^3\text{He} + {}^2\text{H} + {}^1\text{H}$, и эти события могут быть отнесены к симметричному процессу перезарядки ядра ${}^6\text{Li}$ в ядро ${}^6\text{Be}$ с последующим его распадом. В остальных событиях процесс с изменением заряда ядра-снаряда происходит с большим числом частиц в конечном состоянии. По этим результатам вероятности изменения заряда ядра ${}^6\text{Li}$ в состояния с зарядами $Z = 2$ и 4 составляют примерно по 1%, а вероятности перезарядки без рождения мезонов — не более 0.5%.

КОГЕРЕНТНАЯ ДИССОЦИАЦИЯ ЯДРА ${}^6\text{Li}$

Поперечные импульсы фрагментов ядра в системе фрагментирующего ядра определяются импульсами фермиевского движения нуклонов в ядре. Однако при взаимодействии с ядром-мишенью фрагментирующее ядро как целое в свою очередь может получить дополнительный импульс. В этом случае измеряемый в л. с. поперечный импульс фрагмента не ограничивается только его импульсом в ядре. Учет же импульса, получаемого ядром, затруднен, так как в экспериментах не регистрируются фрагменты-нейтроны. Однако при диссоциации ядра только на заряженные фрагменты, когда сумма массовых чисел фрагментов равна массовому числу исходного ядра, можно определить как величину поперечного импульса, передаваемого ядром-снаряду, так и поперечные импульсы фрагментов в системе фрагментирующего ядра.

Ниже отдельно рассмотрены процессы когерентной диссоциации ядра ${}^6\text{Li}$, в которых отсутствует рождение заряженных релятивистских частиц. Топология этих событий представлена в табл. 7, где указаны числа событий диссоциации ядра ${}^6\text{Li}$ без возбуждения ядра-мишени ($N_h = 0$) и с возбуждением ($N_h \neq 0$).

Таблица 7. Числа событий когерентной диссоциации ядра ${}^6\text{Li}$

Канал диссоциации	Число событий	
	без возбуждения ядра-мишени ($N_h = 0$)	с возбуждением ядра-мишени ($N_h \neq 0$)
${}^4\text{He} + d$	23	24
${}^3\text{He} + t$	4	1
$t + d + p$	4	3
$d + d + d$	0	2

Рассмотрим канал ${}^6\text{Li} \rightarrow \alpha + d$ без возбуждения ядра-мишени, для которого имеется наибольшая статистика. В л. с. значения средних поперечных импульсов фрагментов в этом канале составляют $\langle p_t^\alpha \rangle = 150 \pm 14 \text{ МэВ}/c$ и $\langle p_t^d \rangle = 134 \pm 16 \text{ МэВ}/c$. В каждом событии величина поперечного импульса, полученного ядром ${}^6\text{Li}$, определялась как векторная сумма поперечных импульсов отдельных фрагментов $p_t^{\text{Li}} = p_t^\alpha + p_t^d$, и с учетом p_t^{Li} находились значения поперечных импульсов фрагментов в их с. ц. м. На рис. 5 приведено распределение событий по величине p_t^{Li} . Интервал значений поперечного импульса, переданного ядру лития, не превышает 300 МэВ/*c*, а среднее значение по всем событиям составляет $164 \pm 15 \text{ МэВ}/c$. Среднее значение поперечных импульсов фрагментов в их с. ц. м. $\langle p_t^\alpha \rangle = \langle p_t^d \rangle = 97 \pm 9 \text{ МэВ}/c$, что заметно ниже измеренных в л. с. Такое низкое значение поперечных импульсов согласуется с большим радиусом двухклusterной структуры ядра ${}^6\text{Li}$. В каждом событии по величинам поперечных импульсов фрагментов ядра-мишени определялось значение p_t^{Li} .

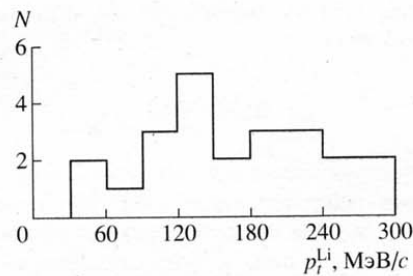


Рис. 5. Распределение событий по поперечному импульсу ядра ${}^6\text{Li}$ в канале когерентной диссоциации ${}^6\text{Li} \rightarrow {}^4\text{He} + d$.

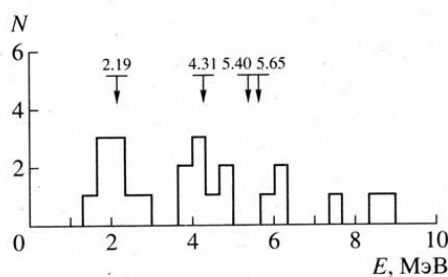


Рис. 6. Распределение событий по энергии возбуждения ядра ${}^6\text{Li}$ в канале когерентной диссоциации ${}^6\text{Li} \rightarrow {}^4\text{He} + d$. Стрелками указаны известные уровни возбуждения.

речных импульсов фрагментов было определено значение эффективной массы M_{eff} системы $\alpha + d$ без учета возможного изменения продольных импульсов фрагментов. Разность значений M_{eff} и массы ядра ${}^6\text{Li}$ $E = M_{eff} - M_{\text{Li}}$ может служить оценкой энергии возбуждения ядра ${}^6\text{Li}$. На рис. 6 приведено распределение событий по величине E . Стрелками указаны известные уровни возбуждения ядра ${}^6\text{Li}$ в этой области: 2.19, 4.31, 5.40 и 5.65 МэВ. Видно, что в полученном распределении основная часть событий располагается в области низших уровней, и диссоциация в рассматриваемом канале протекает в основном через стадию возбуждения низших уровней ядра ${}^6\text{Li}$. Такое необычно сильное снижение энергетического порога неупругих взаимодействий должно приводить к соответствующему увеличению вклада в полное сечение взаимодействий с большими параметрами столкновения и вклада электромагнитных взаимодействий. Такие взаимодействия характеризуются малыми значениями передаваемого импульса. В согласии с этим в половине событий когерентной диссоциации поперечный импульс, переданный ядру ${}^6\text{Li}$, не превышает 200 МэВ/с, что характерно для электромагнитных взаимодействий в ядро-ядерных столкновениях.

ВЫВОДЫ

Изотопный состав фрагментов и каналы фрагментации релятивистских ядер ${}^6\text{Li}$, наблюдавшиеся в неупругих взаимодействиях релятивистских ядер ${}^6\text{Li}$ с ядрами фотоэмulsionий, в значительной степени определяются слабосвязанной ($\alpha + d$)-структурой ядра ${}^6\text{Li}$. Такая кластерная структура обуславливает дополнительный вклад в сечение неупругих взаимодействий с

большими параметрами столкновения и повышенный вклад электромагнитных взаимодействий. В результате значение среднего свободного пробега неупругих взаимодействий ядра ${}^6\text{Li}$ становится меньше, чем это следует из зависимости от массового числа ядра-снаряда. Полученная нами величина среднего пробега соответствует эффективному радиусу, близкому к значению среднеквадратичного радиуса распределения заряда в ядре ${}^6\text{Li}$. Полученные результаты указывают также на то, что в картину взаимодействия ядра ${}^6\text{Li}$ с ядрами существенный вклад вносят события, в которых с ядрами мишени эффективно взаимодействуют отдельные слабосвязанные кластеры ядра ${}^6\text{Li}$.

Зарегистрированы каналы диссоциации ядра ${}^6\text{Li}$ только на заряженные фрагменты. Установлено, что в процессе диссоциации проявляются низшие уровни возбуждения ядра ${}^6\text{Li}$.

Вероятности перезарядки ядра ${}^6\text{Li}$ на ядрах фотоэмulsionий в состояния с зарядами $Z = 2$ и 4 без рождения мезонов не превышают 0.5%.

В заключение авторы выражают благодарность коллективу ЛВЭ ОИЯИ за предоставление эмульсионных стопок, Ф. Г. Лепехину, Б. Б. Симонову и М. М. Чернявскому за обсуждение результатов, а также членам Сотрудничества по исследованию неупругих взаимодействий ядер ${}^4\text{He}$ и ${}^{12}\text{C}$ с импульсом 4.5 А ГэВ/с, материалы которых были использованы в статье.

Авторы выражают благодарность Российскому фонду фундаментальных исследований за финансовую поддержку.

СПИСОК ЛИТЕРАТУРЫ

1. Толстов К.Д. и др. Препринт ОИЯИ Р1-8313. Дубна, 1974.
2. Баник Б.П. и др. Сообщения ОИЯИ Р1-84-532. Дубна, 1984.
3. Баник Б.П. и др. // Письма в ЖЭТФ. 1984. Т. 39. С. 184.
4. El-Sharkawy S. et al. // Phys. Scr. 1993. V. 47. P. 512.
5. Bradt H., Peters B. // Phys. Rev. 1950. V. 77. P. 54.
6. Bayman B.F., Ellis P.J., Tang Y.C. // Phys. Rev. Lett. 1982. V. 49. P. 532.
7. Heckman H.H. et al. // Phys. Rev. 1978. V. C17. P. 1735.
8. Богданов В.Г., Плющев В.А., Соловьева З.И. // ЯФ. 1988. Т. 47. С. 1814.
9. Bubnov V.I. et al. // Z. Phys. 1981. V. A302. P. 133.
10. Galstyan J.A. et al. // Nucl. Phys. 1973. V. A208. P. 626.

11. *Bannik B.P. et al.* // Z. Phys. 1985. V. A321. P. 249.
12. *Воинов В.Г., Часников И.Я.* // Многократное рассеяние частиц в ядерных фотоэмulsionях. Алма-Ата: Наука, 1969. С. 81.
13. *Лепехин Ф.Г., Селиверстов Д.М., Симонов Б.Б.* // Письма в ЖЭТФ. 1994. Т. 59. С. 312.
14. А-АБГДДЕЗККЛМТУ-Б. Сотрудн. // ЯФ. 1988. Т. 47. С. 157.
15. DKLLMTU-BW Collab. // Acta Phys. Slov. 1978. V. 28. P. 132.
16. БВДКЛМТ. Сотрудн. // ЯФ. 1979. Т. 29. С. 105.
17. *Goldhaber A.S.* // Phys. Lett. 1974. V. B53. P. 306.

INTERACTIONS OF RELATIVISTIC ${}^6\text{Li}$ NUCLEI WITH NUCLEI OF PHOTOEMULSION

**M. I. Adamovich, V. G. Bogdanov, I. A. Konorov, V. G. Larionova, N. G. Peresadko,
V. A. Plyushchev, Z. I. Solovyeva, S. P. Kharlamov**

The results of investigations of inelastic interactions of $4.5A \text{ GeV}/c$ ${}^6\text{Li}$ nuclei with photoemulsion nuclei are presented. The main features of these interactions – mean free path, mean multiplicity of secondary particles, isotopic structure of fragments and fragmentation channels, mean transverse momentum values for projectile fragments are measured. The probability of the ${}^6\text{Li}$ charge exchange reaction is given. The results for lithium nuclei are compared with analogous data for other nuclei. The observed effects of interactions of ${}^6\text{Li}$ with nuclei demonstrate evidence that the specific structure of ${}^6\text{Li}$ nuclei as weakly bound system of α -particle and deuteron clusters is clearly manifested. Events of coherent dissociation of ${}^6\text{Li}$ into ${}^4\text{He} + d$, ${}^3\text{He} + t$ and $t + d + p$ with exitation of ${}^6\text{Li}$ low levels were obtained.